

**ОЦЕНКА НЕОПРЕДЕЛЕННОСТИ ИЗМЕРЕНИЙ МЕЖПЛОСКОСТНЫХ  
РАССТОЯНИЙ В МОНОКРИСТАЛЛИЧЕСКОМ КРЕМНИИ С  
ИСПОЛЬЗОВАНИЕМ ЛАБОРАТОРНОГО РЕНТГЕНОВСКОГО  
ДИФРАКТОМЕТРА**

**В. П. ГАВРИЛЕНКО<sup>\*</sup>, М. А. ЕРМАКОВА<sup>\*\*</sup>, А. В. ЗАБЛОЦКИЙ<sup>\*\*</sup>,  
А. Ю. КУЗИН<sup>\*</sup>, П. А. ТОДУА<sup>\*</sup>, М. Н. ФИЛИППОВ<sup>\*\*\*</sup>**

<sup>\*</sup>*Научно-исследовательский центр по изучению свойств поверхности и вакуума,  
Москва, Россия, e-mail: fgupnicpv@mail.ru*

<sup>\*\*</sup>*Московский физико-технический институт, Долгопрудный, Россия*

<sup>\*\*\*</sup>*Институт общей и неорганической химии им. Н. С. Курнакова РАН,  
Москва, Россия*

*Дана оценка неопределенности результатов измерений межплоскостных расстояний в кремнии на лабораторном дифрактометре Bruker D8 DISCOVER с использованием стандартного образца NIST SRM-2000.*

**Ключевые слова:** межплоскостные расстояния, рентгеновская дифрактометрия, неопределенность результата измерения, прослеживаемость.

*The estimation of uncertainty of lattice spacing measurements in silicon by means of laboratory diffractometer Bruker D8 DISCOVER with use of certified reference material NIST SRM-2000 is presented.*

**Key words:** lattice spacing, X-ray diffractometry, measurements uncertainty, traceability.

Необходимость повышения точности измерений длины в нанометровом диапазоне и обеспечения прослеживаемости результатов этих измерений к эталонам единиц Международной системы (СИ) требует критической оценки ряда широко применяемых на практике процедур.

В последнее время в нанометрологии в качестве внутреннего стандарта при измерении длины часто используют межплоскостные расстояния в монокристаллах, прежде всего в кремнии. В частности, такой подход применен при разработке государственного стандартного образца ГСО 10030-2011 для калибровки просвечивающих электронных микроскопов [1]. При изготовлении стандартного образца (СО) для обеспечения прослеживаемости значения межплоскостного расстояния

к эталону длины использован метод высокоразрешающей дифрактометрии, который применяют при измерениях в наноэлектронике на промышленных образцах кремния. Легирование материала и внутренние напряжения могут привести к изменениям межплоскостных расстояний. Поэтому использование в качестве значений межплоскостных расстояний справочных данных часто является неоправданным [2]. Если значение межплоскостного расстояния исследуемого образца применяют для расчета результата измерений (как, например, при калибровке просвечивающих электронных микроскопов с использованием ГСО 10030-2011 [1]), то оно должно определяться экспериментально. Результат таких измерений должен быть прослеживаем к эталону единицы длины.

В данной статье оценена неопределенность результатов измерений межплоскостных расстояний с использованием серийного лабораторного дифрактометра Bruker D8 DISCOVER.

**Оценка неопределенности измерений межплоскостных расстояний.**

Для измерения параметра кристаллической решетки пластины монокристаллического кремния использована схема измерений угла рассеяния для рефлекса (004) в геометрии на отражение. Для определения длины волны рентгеновского излучения применен СО монокристаллического кремния NIST SRM 2000 с аттестованным значением межплоскостного расстояния  $d_{200} = 0,1920161$  нм и расширенной неопределенностью 0,0000087 нм (при коэффициенте охвата  $k = 2$ ). В этом случае межплоскостное расстояние измеряемого образца определяется по формуле

$$d_{004} = \lambda / \sin\theta = d_{SRM} \sin\theta_{SRM} / \sin\theta,$$

где  $d_{SRM}$  – межплоскостное расстояние СО согласно паспорту;  $\theta_{SRM}$ ,  $\theta$  – средние значения половины угла брэгговского рассеяния, измеренные для СО и исследуемого образца, соответственно.

Бюджет неопределенностей результата измерений межплоскостных расстояний состоит из следующих неопределенностей:

неопределенность, оцениваемая по типу А, обусловленная случайными факторами и оцениваемой статистическими методами;

неопределенности, оцениваемые по типу В:

– неопределенность, обусловленная изменением условий измерений;

– неопределенность, обусловленная преломлением рентгеновского излучения на поверхности образца;

неопределенность аттестации межплоскостного расстояния СО.

Суммарная неопределенность измерений межплоскостного расстояния рассчитывается как

$$u_c(d_{004}) = [(\sin\theta_{SRM}/\sin\theta)^2 u_c^2(d_{SRM}) + (d_{SRM}/\sin\theta)^2 \times \\ \times (\cos^2\theta_{SRM} + (\sin\theta_{SRM}/\tan\theta)^2) u_c^2(\theta) + u_j^2(\delta_{all}d)]^{1/2}, \quad (1)$$

где  $u_c(d_{SRM})$  – суммарная неопределенность межплоскостного расстояния  $d_{004}$  CO согласно паспорту;  $u_c(\theta)$  – суммарная неопределенность измерений брэгговского угла рассеяния;  $u_j(\delta_{all}d)$  – неопределенность, обусловленная преломлением рентгеновского излучения в веществе. Слагаемое  $u_c(\theta)$  зависит от изменений внешних условий при выполнении измерений в лаборатории, например от невозможности поддерживать постоянное значение температуры во время измерений  $u_j(\delta_T\theta)$ , и случайного вклада  $u_i(\theta)$ , отвечающего за все остальные неучтенные факторы, определяемое при проведении измерений в условиях, соответствующих внутрилабораторной прецизионности:

$$u_c^2(\theta) = u_i^2(\theta) + u_j^2(\delta_T\theta).$$

Для оценки всех составляющих  $u_c(d_{004})$  проведены 8 серий измерений в условиях, соответствующих внутрилабораторной прецизионности, включая измерения в разное время суток, разные дни и с разными операторами. Для расчета влияния изменений температуры окружающей среды выполнена серия измерений в диапазоне температур образца 21,5–28,0 °C, причем изменялась температура всей комнаты, однако контролировали только температуру образца в момент проведения измерений. В результате установлено, что первое слагаемое в (1) составляет  $6,20 \cdot 10^{-6}$  нм, второе –  $3,10 \cdot 10^{-6}$  нм, третье –  $4,0 \cdot 10^{-6}$  нм. Расширенная неопределенность измерений межплоскостного расстояния  $d_{004}$  кремния при  $k = 2$  составила  $1,5 \cdot 10^{-5}$  нм, а для параметра решетки кремния –  $6,0 \cdot 10^{-5}$  нм.

**Прослеживаемость результатов дифрактометрических измерений.** С целью обеспечения единства измерений параметров решетки необходима привязка результатов измерений к единицам СИ. Физические основы решения этой задачи создали в 1965 г. Бонзе и Харт. [3], разработавшие специальный тип трехкристального интерферометра, в котором возникала картина рентгеновского муара. Совмещение данного прибора с оптическим лазерным интерферометром положило начало методу оптико-рентгеновской интерферометрии. При помощи подобной

установки была осуществлена привязка межплоскостного расстояния кристалла кремния к длине волны стабилизированного Не–Не-лазера путем подсчета количества максимумов интенсивности, измеренных детектором при перемещении одного из кристаллов интерферометра на значение длины волны Не–Не-лазера. Относительная неопределенность измерений параметров решетки кремния данным методом составила  $0,15 \cdot 10^{-6}$ .

Существенным преимуществом оптико-рентгеновской интерферометрии является тот факт, что результаты измерений не зависят от длины волны используемого рентгеновского излучения. При проведении измерений с использованием стандартного лабораторного оборудования в схеме с измерением угла рассеяния рентгеновского излучения и последующем использовании соотношения Брэгга необходимо учитывать значение и неопределенность длины волны рентгеновского излучения. Несмотря на то, что длина волны характеристического излучения материалов рентгеновских трубок известна с высокой точностью (для линии меди  $\text{K}\alpha 1$  неопределенность положения центра спектральной линии составляет  $6 \cdot 10^{-8}$  нм [4]), характерная относительная ширина спектральной линии рентгеновского излучения равна  $3 \cdot 10^{-4}$  [5]. Использование кристаллов, вырезающих отдельную область спектра, для монохроматизации рентгеновского излучения сдвигает среднее значение длины волны и таким образом вносит неопределенность измерений до  $5 \cdot 10^{-5}$  нм.

На базе прецизионного оптико-рентгеновского интерферометра института РТВ (ФРГ) и рентгеновского компаратора, соответствующего стандарту NIST (США), был создан CO SRM-2000, использованный в данной работе. Аттестованным значением для этого образца является межплоскостное расстояние в монокристаллическом кремнии  $d_{220}$ . Схема прослеживаемости результатов измерений межплоскостных расстояний на лабораторном дифрактометре с использованием в качестве внешнего стандарта SRM 2000 может быть представлена в виде, показанном на рисунке. Изображенный на схеме CO NIST SRM 1976а используется для калибровки угловой шкалы дифрактометра.

**Выходы.** Установлено, что при измерениях межплоскостных расстояний кремния на лабораторном дифрактометре с применением внешнего стандарта (CO NIST SRM 2000) расширенная неопределенность измерения межплоскостного расстояния  $d_{004}$  кремния при  $k = 2$  составила  $1,5 \cdot 10^{-5}$  нм, а для параметра решетки кремния –  $6,0 \cdot 10^{-5}$  нм.

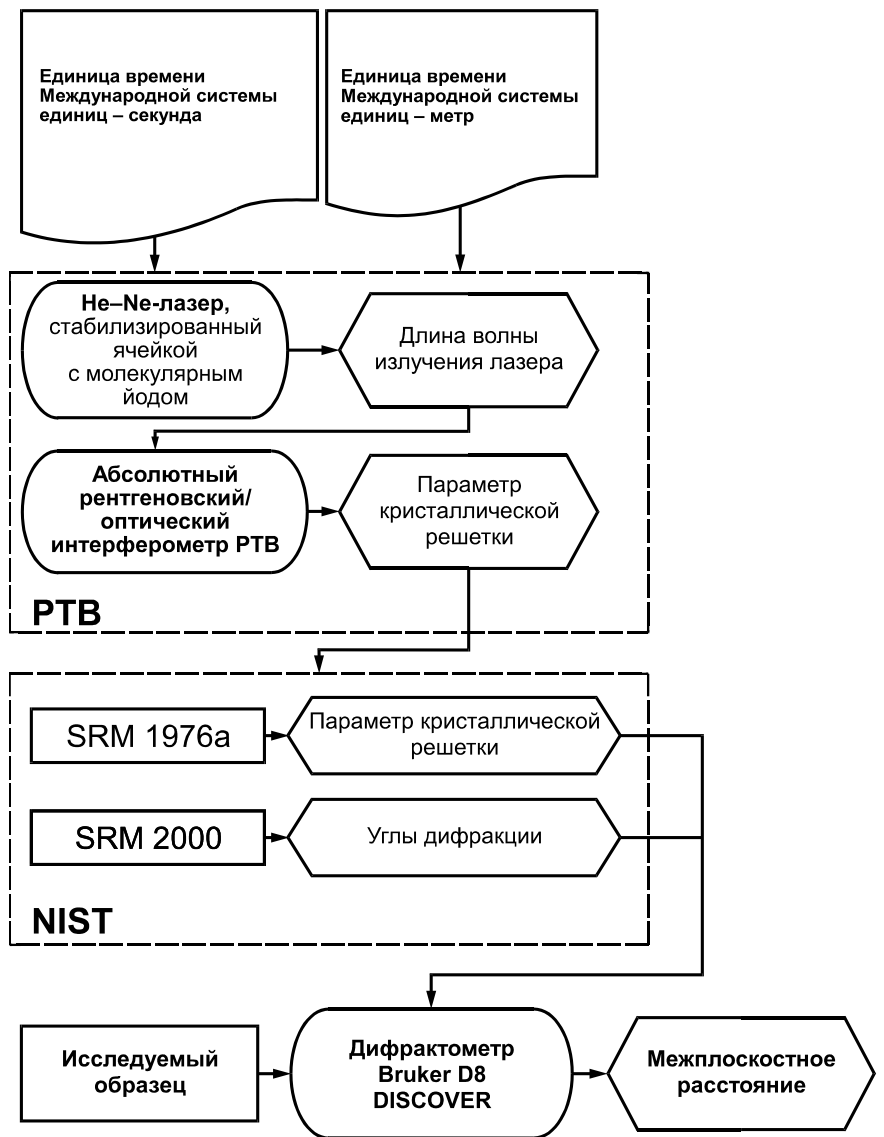


Схема прослеживаемости результатов измерений межплоскостных расстояний на лабораторном дифрактометре

Авторами предложена схема прослеживаемости результатов дифрактометрических измерений к единицам СИ.

Данная работа выполнена при поддержке Министерства образования и науки РФ с привлечением оборудования Центра коллективного пользования уникальным научным оборудованием в области нанотехнологий МФТИ (государственный контракт № 16.552.11.7070).

## Л И Т Е Р А Т У Р А

1. **Бодунов Д. С. И др.** Стандартный образец для калибровки просвечивающих электронных микроскопов // Измерительная техника. 2012. № 10. С. 16–18; **Bodunov D. S. e. a.** Standard sample for calibration of transmission electron microscopes nanometrology // Measurement Techniques. 2013. V. 55. N 10. P. 1137–1140.
2. **Fewster P. F.** Absolute lattice parameter measurement // J. Mat. Sci. 1999. V. 10. P. 175–183.
3. **Bonse U., Hart M.** An X-Ray interferometer //Appl. Phys. Lett. 1965. V. 6. P. 155–156.
4. **ГССД 252–2011.** Энергия характеристического рентгеновского излучения при переходах в электронных оболочках атомов химических элементов с атомным номером от 4 до 100. Таблица стандартных справочных данных.
5. **Becker P..** History and progress in the accurate determination of the Avogadro constant // Rep. Prog. Phys. 2001. V. 64. P. 1945–2008.

*Дата принятия 17.07.2013 г.*